

LISÄÄ KULTA-KOBOLTTIKAIRAUSTEN TULOKSIA RAJAPALOISTA, MAWSON ALOITTA ALUSTAVAT TUTKIMUKSET MALMIN MÄÄRÄSTÄ JA METALLURGISET KOKEET

Vancouver, Canada — **Mawson Resources Limited** ("Mawson") tai ("Yhtiö") (TSX:MAW) (Frankfurt:MXR) (PINKSHEETS: MWSNF) julkaisee kulta- ja/tai monimetallianalyysitulokset 43 kairanreiästä kuudelta kohdealueelta Rajapaloista.

"Ymmärryksemme kobolttin esiintymisestä Rajapaloissa kullan suhteen mineralisoituneilla vyöhykkeillä on entuudestaan kasvanut. Rajapalojen tutkimusalue on nopeasti kehityksessä löydöksestä vaiheeseen, jossa olemme aloittamassa alustavia laskelmia malmin määrästä ja kokeita sen rikastettavuudesta", toteaa Mawsonin hallituksen puheenjohtaja Michael Hudson. "Hanke on erittäin kiinnostavassa käännekohtassa nyt kun uusi, laaja mineralisaatioalue on hahmottumassa. Strategisesti merkittävän kobolttiesiintymän sijoittuminen vain 400 kilometrin päähän maailman suurimmasta yksittäisestä kobolttirikastamosta Kokkolassa on hyvä uutinen koko Suomelle".

Suomella on merkittävä asema maailman kobolttituotantoketjussa. Kongon demokraattinen tasavalta ("Kongo") tuotti 54 % maailman koboltista vuonna 2016. 80 % litium-ioniakkuihin käytetystä koboltista tuotettiin Kiinassa.

Puolet muualla maailmassa tuotetusta koboltista, eli 10 % kokonaisuudesta, tuottaa Freeport Cobalt, joka on maailman suurin yksittäinen kobolttituotantolaitos. Se sijaitsee Kokkolassa vain 400 kilometrin päässä Mawsonin Rajapalojen tutkimusalueesta. Merkittävä määrä Freeport Cobaltin käyttämästä raaka-aineesta tuodaan pitkäaikaisen toimitussopimuksen perusteella kiinalaisomisteisesta Tenke Fungurume -kaivoksesta, joka sijaitsee Kongossa. Tulevaisuudessa suomalainen kobolttin lähde Rajapaloissa voisi sopia hyvin Suomen ja Ruotsin hiljattain julkistamaan hankkeeseen pyrkiä yhdessä luomaan läpinäkyvä tuotantoketju kestäville mineraaleille, joiden katsotaan olevan eräänä edellytyksenä ilmastotavoitteiden saavuttamiseksi.

Päähkohdat:

- 43 timanttisyväkairausreiän analyysitulokset kuudelta Rajapaloihin sijoittuvalta kohdealueelta
- Kobolttin analyysitulokset lisäävät edelleen kullan ja kobolttin suhteen mineralisoituneiden lävistysten paksuutta, jatkuvuutta ja pitoisuuksia. Seitsemän parhaan nyt raportoidun mineralisoituneen reiän keskimääräinen kullan vasta-arvo ("AuEq") x paksuuden lisääntyminen on 92 % verrattuna aikaisemmin raportoituihin tuloksiin, joissa oli analysoitu ainoastaan kullan pitoisuudet. Pelkkiin kultapitoisuuksiin verrattuna AuEq nousi kobolttin ansiosta kauttaaltaan 1-2 g/t mutta lävistysten paksuudet kasvoivat huomattavasti (taulukko 1, Figure 4-10, englanniksi)
- Metallurgisia tutkimuksia tehdään parhaillaan ja Yhtiö pestaa piakkoin Yhtiöstä riippumattoman, pätevyysvaatimukset täyttävän henkilön laatimaan ensimmäistä alustavaa malmilaskelmaa Rajapaloista
- Palokas-nimisen kohdealueen parhaisiin analyysituloksiin sisältyvät muun muassa:
 - **33,0 metriä @ 4,2 g/t AuEq, 3,1 g/t Au, 547 ppm Co alkaen 38,7 metristä (PRAJ0109)**
 - **34,6 metriä @ 2,6 g/t AuEq, 1,2g/t Au, 693 ppm Co alkaen 30.3 metristä (PRAJ0111)**
- Raja-nimisen kohdealueen parhaisiin analyysituloksiin sisältyvät muun muassa:
 - **20,7 metriä @ 5,6 g/t AuEq, 3,6 g/t Au, 956 ppm Co alkaen 365,2 metristä (PAL0118)**
 - **5,0 metriä @ 16,1 g/t AuEq, 14,2 g/t Au, 938 ppm Co alkaen 245,0 metristä (PAL0092)**
- Raja-nimisellä kohdealueella tehdään parhaillaan elektromagneettisia geofysiikan mittauksia joiden tavoitteena on määrittää mineralisaation pohjoiseen suuntautuvia jatkeita. Kairauksilla paikannettiin alueelta läheltä kallion pintaa alkava 470 metriä pitkä jakso, joka jatkuu syvemmälle kallioperään (Figure 3, englanniksi)

Raportoidut analyysitulokset esitetään taulukossa 3, ja seitsemän parhaan kairanreiän (43 raportoidusta) tulokset Palokas- ja Raja-nimisiltä kohdealueilta on esitetty taulukossa 1. Karttapiirros kairaustuloksista ja kohdealueiden nimet löytyvät kuvasta 1. Figure 2 ja 3 (englanniksi) esittävät poikki- ja pituusleikkaukset Raja-nimiseltä kohdealueelta. Table 2:een (englanniksi) on kerätty kaikki merkittävä tieto kairanreiästä. Olettaen, että esiintymät ovat syntyneet pääasiassa kallioperän kerrosrakenteiden vaikutuksesta, mineralisaation todellisen paksuuden tulkitaan olevan noin 90 % kairattujen lävistysten paksuudesta. Alle 0,5 g/t kultapitoisuudet on lävistysten raportoinnissa jätetty pois. Kobolttia sisältävien näytteiden yhteydessä on käytetty raportoinnin vähimmäispitoisuusarvona 0,5 g/t AuEq -vasta-arvoa. Näytteiden pituus on 1 metri. Ylärajaa, jonka ylittävät pitoisuudet poistetaan, ei ole sovellettu. Kullan vasta-arvo ("AuEq") on laskettu käyttäen seuraavaa kaavaa: $AuEq \text{ g/t} = Au \text{ g/t} + (Co_ppm/481)$, jossa metallien hintoina on käytetty $Co = 88\ 185 \text{ USD/t}$ ja $Au = 1\ 320 \text{ USD/unssi}$, jossa 1 g/t Au vastaa 0,048 % Co. AuEq vaihtelee kullan ja kobolttin hintojen muuttuessa.

Taulukko 1: Parhaat monimineraalianalyysitulokset Raja- ja Palokas-nimisiltä kohdealueilta. Huom. keskimääräinen 92 % kasvu tulossa AuEq -pitoisuus x lävistyksen paksuus aikaisemmin raportoituuihin kulta-analyysiin verrattuna

Reikätnunnus	Mistä (m)	Mihin (m)	Paksuus (m)	Au Eq g/t	Au g/t	Co ppm	Kohdealue	% kasvu g/t * m
PRAJ0109	38.7	71.7	33.0	4.2	3.1	547	PALOKAS	38
PRAJ0110	70.2	92.2	22.0	2.9	1.5	664	PALOKAS	114
PRAJ0111	30.3	64.9	34.6	2.6	1.2	693	PALOKAS	152
PAL0085	124.0	134.9	10.9	5.0	3.8	569	RAJA	34
PAL0092	245.0	250.0	5.0	16.1	14.2	938	RAJA	14
PAL0097	276.3	287.2	11.0	2.6	0.8	880	RAJA	281
PAL0118	322.0	331.6	9.6	3.2	2.1	534	RAJA	56
PAL0118	365.3	386.0	20.7	5.6	3.6	956	RAJA	47

Työt jatkuvat Rompas-Rajapalojen tutkimusalueeseen sisältyvillä kohdealueilla:

- Tulossa olevan riippumattoman alustavan malmilaskelman lähtöaineistojen valmistelemiseksi Mawsonin geologit keskittyvät analyysitulosten varmistamisen lisäksi Palokas-, Raja-, Etelä-Palokas-, ja Rumajärvi -nimisten kohdealueiden geologiseen mallintamiseen. Alustavat kokeet kobolttin ja kullan rikastettavuudesta ovat myös alkaneet saanto- ja QEMSCAN -tutkimuksilla, joilla tutkitaan kobolttimineraalien esiintymistä (kobolttihohde, linneiitti ja kobolttipentlandiitti) kullan sekä kiisu- ja piimineraalien yhteydessä. Näitä kokeita ja tutkimuksia tehdään Geologian tutkimuskeskuksessa (GTK) Suomessa ja Exeterin yliopiston Camborne School of Minesissa
- Toisena malminetsinnän toimenpiteenä on pohjamoreeninäytteenotto-ohjelman ja geofysiikan mittausten tulosten perusteella hahmotetun, noin 2 000 metrin syväkairausohjelman aloittaminen syyskuun loppupuolella

Teknistä taustatietoa

Analyysituloksissa on raportoitu useita eri paksuisia kairansydämiä: PAL -rei'issä kairansydämen halkaisijat ovat NQ2 (50,7 mm), WL76 (57,5mm) tai NTW (56,0 mm), ja PRAJ -rei'issä EW (25,2 mm). Kairansydänten saanti on ollut erittäin hyvä, pääosin keskimäärin lähes 100 % ehjästä kivistä. Mawsonin Rovaniemen toimittolissa tehdyn valokuvaamisen ja raportoinnin jälkeen keskimäärin metrin pituiset mineralisoituneiksi arvioidut ja kaksimetriset mineralisoitumattomiksi otaksutut kairansydämet sahattiin puoliksi GTK:n kairasydänvarastolla Rovaniemellä. Jäljelle jäänyt puolikas sydämistä on varastoitu varmistus- ja jatkotutkimustarkoituksia varten.

Kulta- ja monimetallianalyysien tekemiseen käytettiin kolmea laboratoriota. Kuljetukset tutkimusalueelta Rovaniemelle ja Rovaniemeltä edelleen CRS Minlab Oy:n toimittoloihin Kempeleessä tai ALSGlobalin näytevalmistelutiloihin Sodankylään hoitanut joko Mawsonin henkilökunta tai kuljetusliike. Mawsonin laadunvalvonta ja -varmistusjärjestelmän mukaisesti analysoitavien näytteiden joukkoon lisätään systemaattisesti sertifioituja referenssinäytteitä joiden kulta- ja kobolttipitoisuus tunnetaan tarkasti, ja jokaisen analyysierän alkuun lisätään tyhjä näyte. Mawson on myös varmentanut analysoitujia kultapitoisuuksia rinnakkaisanalyysillä eri laboratorioden kesken.

Näytteet on valmisteltu ja analysoitu Kempeleessä PAL1000 -menetelmää käyttäen. Menetelmässä näytteet jauhetaan teräsastioissa teräskuulilla, uutetaan samanaikaisesti syanidipitoisella liuotusreagenssilla, ja uutoliuksen kultapitoisuus analysoidaan tarkasti AAS-tekniikalla. PAL1000 -menetelmän määritysrajan alentamiseksi kilon näytteissä 0,05 g/tonnista 0,01 g/tonniin kultaa konsentroidtiin myös käyttäen di-isobutyliketoniuttoa (DiBK). Sodankylään analysoitavaksi kuljetetut näytteet analysoitiin käyttäen 50 g fire assay- ja Au-ICP22 -menetelmillä.

Monimetallianalyysit tekivät MS Analytical ja ALSGlobal käyttäen vastaavasti IMS-230 ja ME-MS61 -menetelmiä. Molemmat käyttivät nelihappoliotus, jota seurasi ICP -analyysi.

Mawsonin laadunvalvonta ja -varmistusjärjestelmän mukaisesti analysoitavien näytteiden joukkoon lisätään systemaattisesti sertifioituja referenssinäytteitä joiden kulta- ja kobolttipitoisuudet tunnetaan tarkasti, analysoidaan rinnakkaisnäytteitä puolittamalla varastoitu kairasydänpuolikas, ja lisätään tyhjiä standardinäytteitä mineralisoituneiksi otaksuttujen näytteiden sekaan. Lisäksi kaikki kolme käytettyä laboratoriota lisäävät omia, sertifioituja referenssi- ja tyhjiä näytteitään analyysiprosessiin.

Mawsonin Suomen malminetsintähankkeiden pätevyys ehdot täyttävä henkilö (QP), tohtori Nick Cook, Mawson Resources Limitedin toimitusjohtaja ja Fellow of the Australasian Institute of Mining Metallurgy, on tarkastanut ja vahvistanut tämän tiedotteen sisällön

About Mawson Resources Limited (TSX:MAW, FRANKFURT:MXR, PINKSHEETS:MWSNF)

Mawson Resources Limited on Pohjoismaiden arktisen alueen johtava malminetsintäyhtiö, jonka päätutkimushankkeena on Rompas-Rajapalojen kultaesiintymä Ylitornion ja Rovaniemellä Suomessa.

Lisätietoja:

Tapani Hyysalo
operatiivinen päällikkö
+358 50 448 8303
thyysalo@mawson.fi

Further Information

www.mawsonresources.com

1305 – 1090 West Georgia St., Vancouver, BC, V6E 3V7
Mariana Bermudez (Canada), Corporate Secretary, +1 (604) 685 9316,
info@mawsonresources.com

Forward-Looking Statement

This news release contains forward-looking statements or forward-looking information within the meaning of applicable securities laws (collectively, "forward-looking statements"). All statements Mar 01, 2018in, other than statements of historical fact, are forward-looking statements. Although Mawson believes that such statements are reasonable, it can give no assurance that such expectations will prove to be correct. Forward-looking statements are typically identified by words such as: believe, expect, anticipate, intend, estimate, postulate, and similar expressions, or are those, which, by their nature, refer to future events. Mawson cautions investors that any forward-looking statements are not guarantees of future results or performance, and that actual results may differ materially from those in forward-looking statements as a result of various factors, including, but not limited to, capital and other costs varying significantly from estimates, changes in world metal markets, changes in equity markets, planned drill programs and results varying from expectations, delays in obtaining results, equipment failure, unexpected geological conditions, local community relations, dealings with non-governmental organizations, delays in operations due to permit grants, environmental and safety risks, and other risks and uncertainties disclosed under the heading "Risk Factors" in Mawson's most recent Annual Information Form filed on www.sedar.com. Any forward-looking statement speaks only as of the date on which it is made and, except as may be required by applicable securities laws, Mawson disclaims any intent or obligation to update any forward-looking statement, whether as a result of new information, future events or results or otherwise.

Figure 1 Plan view of Rajapalot area

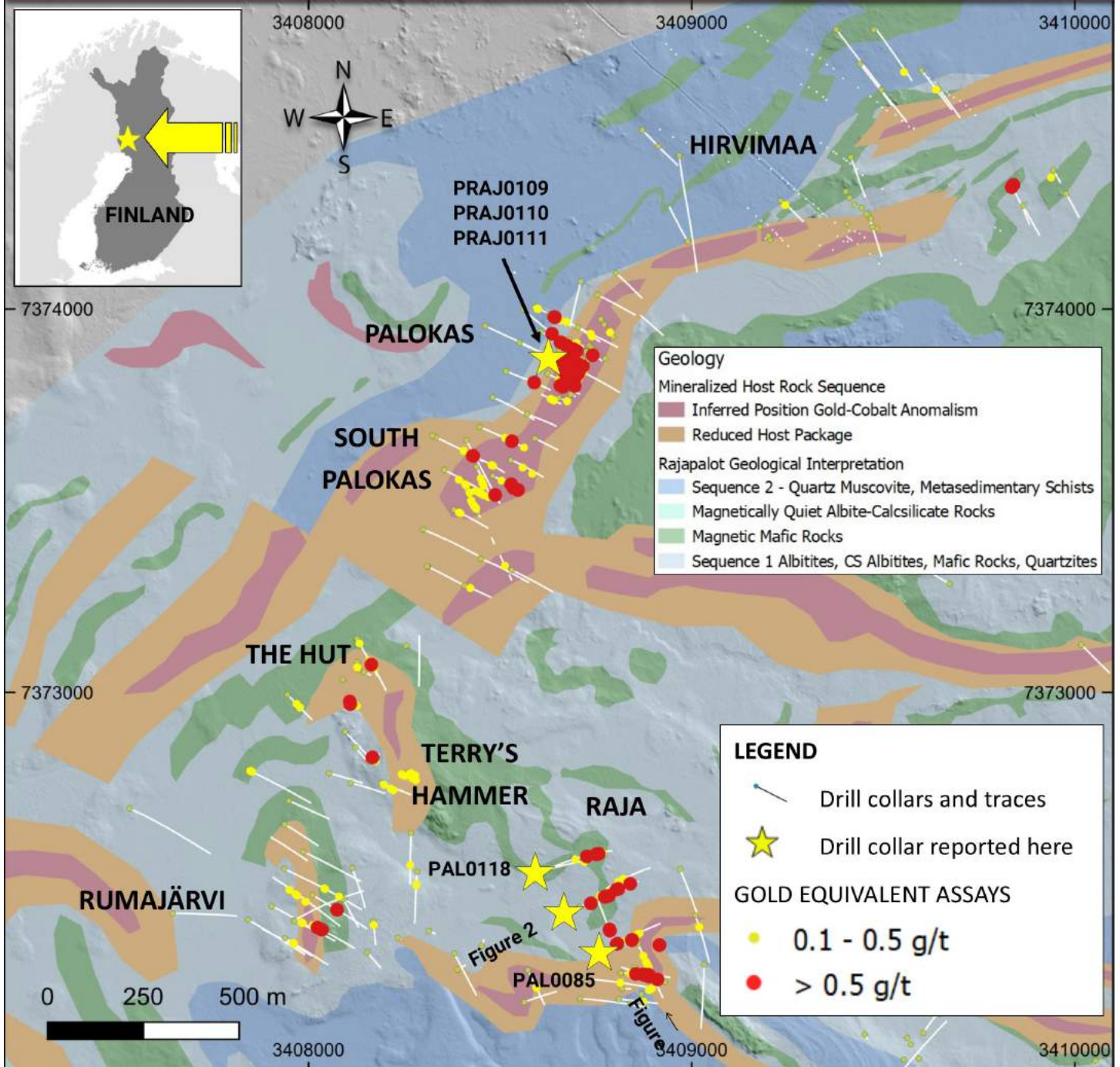


Figure 2 Cross Section from the Raja Prospect, Rajapalot

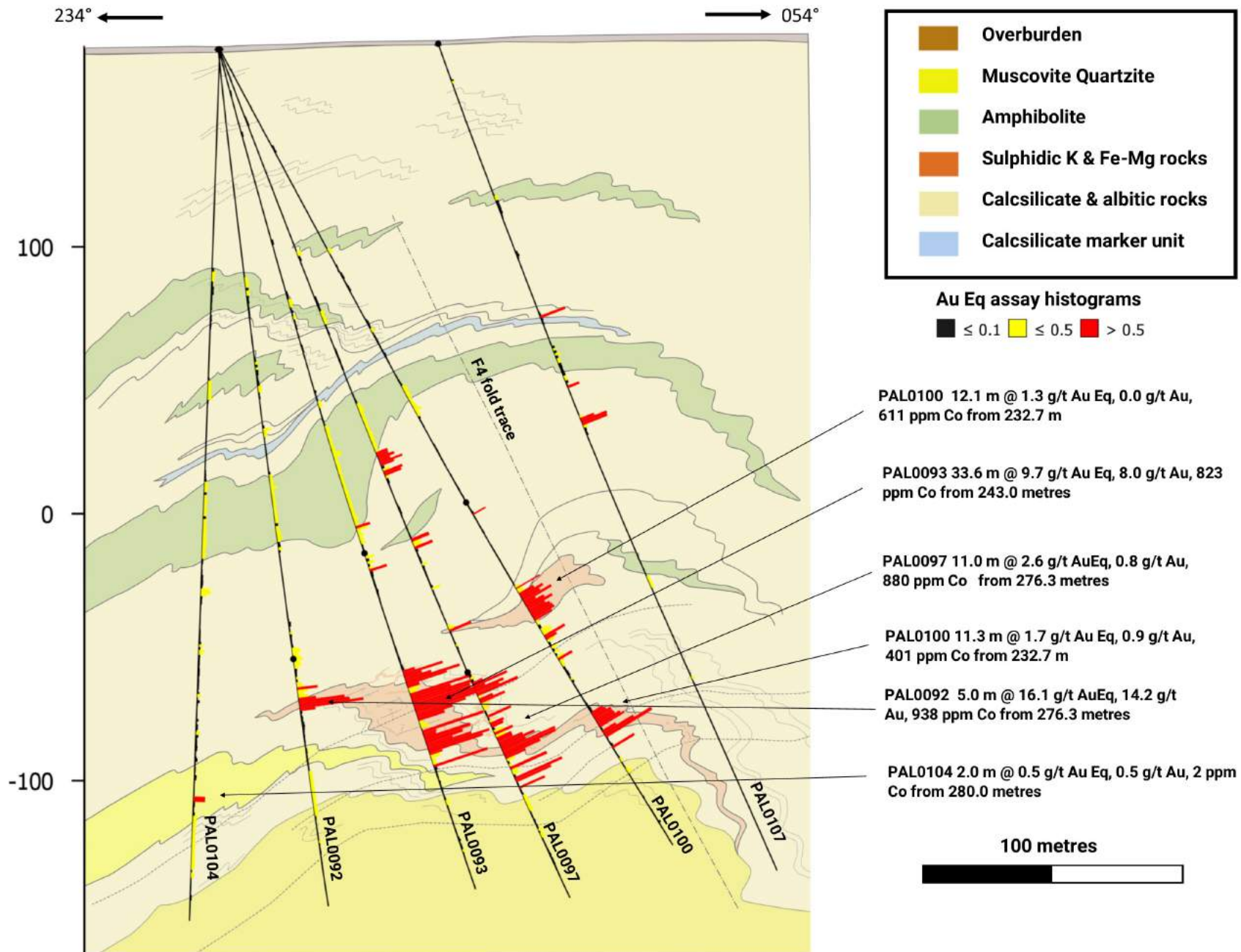
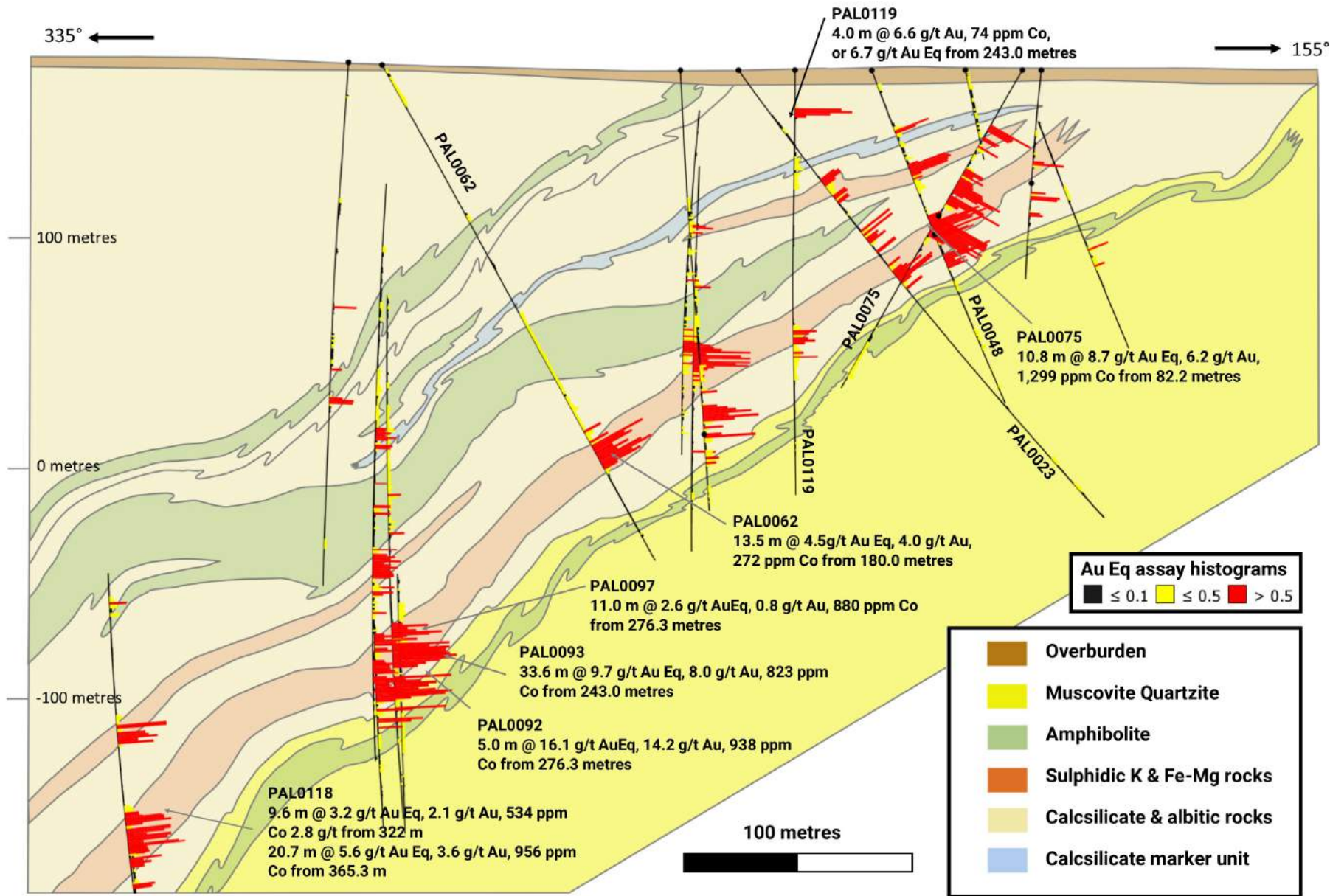


Figure 3 Long section showing results from Raja prospect, Rajapalot



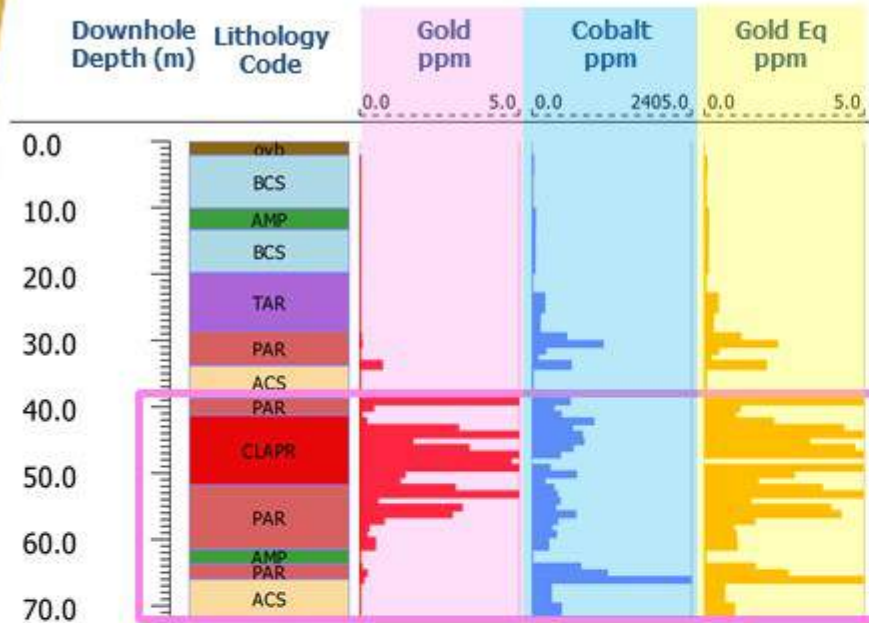


Figure 4
Gold-Cobalt Distribution
 Drillhole PRAJ0109

33 metres @ 4.2g/t AuEq, 3.1g/t Au, 547ppm Co
 Original Assay 19.0m @ 5.3g/t Au
 AuEq % increase 38%

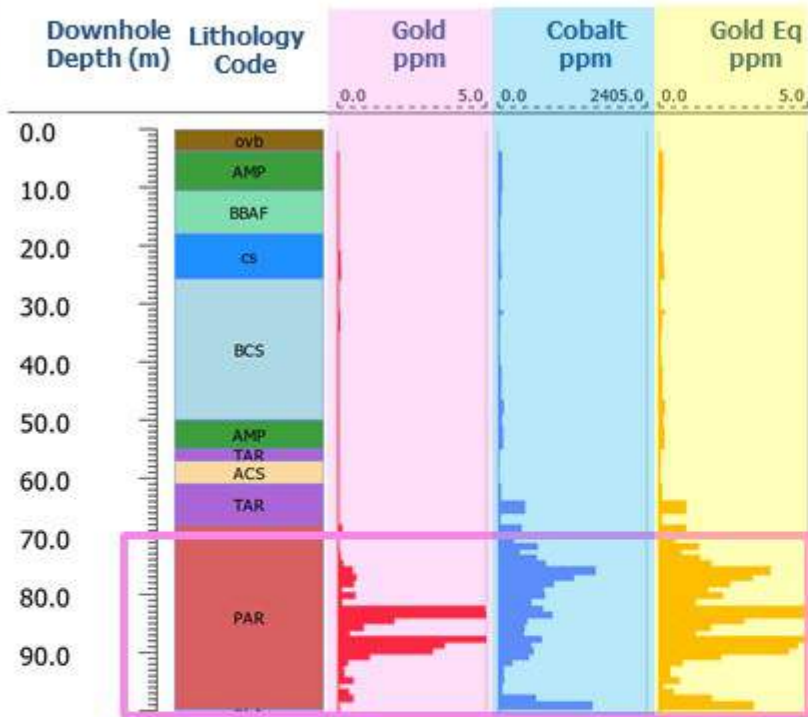


Figure 5
Gold-Cobalt Distribution
 Drillhole PRAJ0110

22 metres @ 2.9g/t AuEq, 1.5g/t Au, 662ppm Co
 Original Assay 9.0m @ 3.2g/t Au
 AuEq % increase 114%

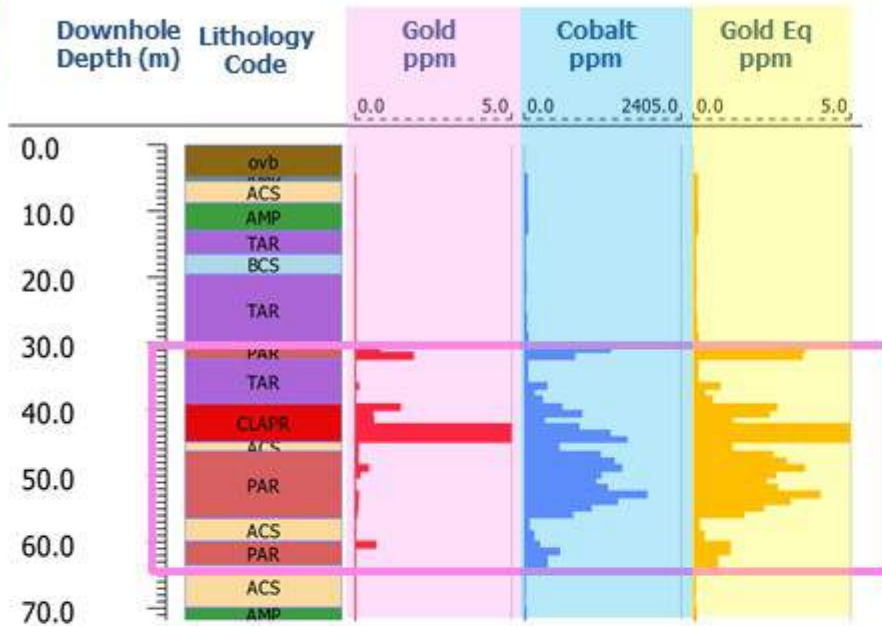


Figure 6
Gold-Cobalt Distribution
 Drillhole PRAJ0111

34.6 metres @ 2.6g/t AuEq, 1.2g/t Au, 693ppm Co
 Original Assay 5.8m @ 6.2g/t Au
 AuEq % increase 152%

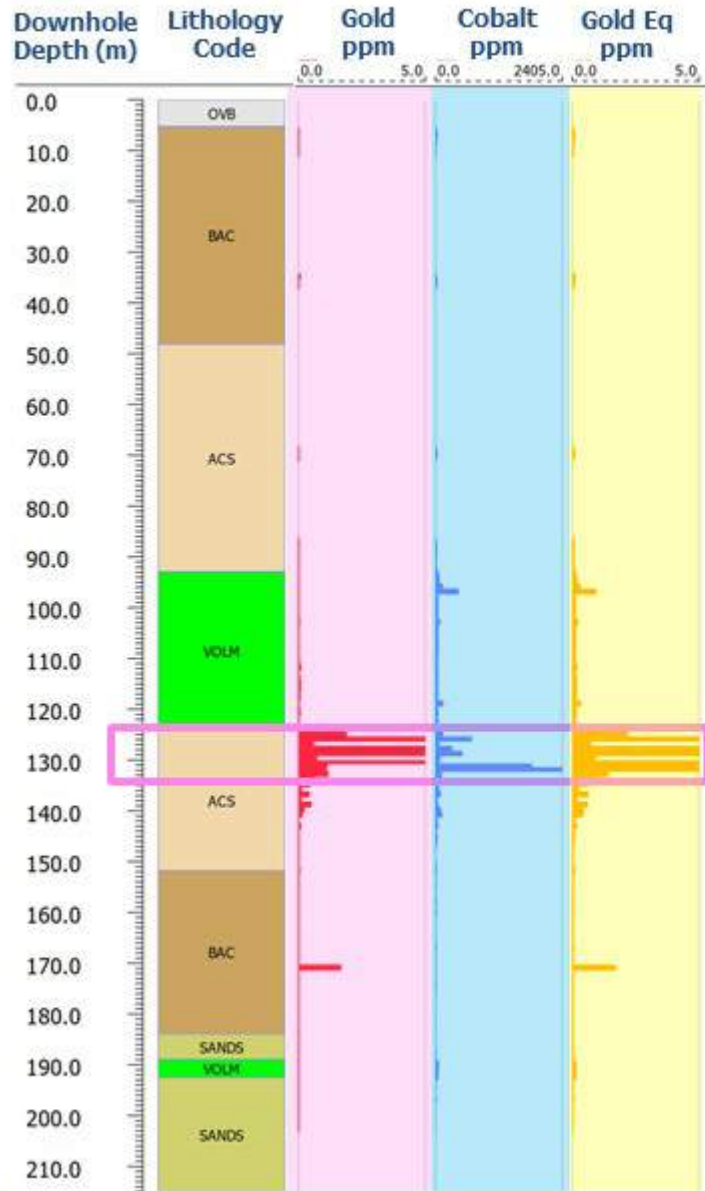


Figure 7
Gold-Cobalt Distribution
 Drillhole PAL0085

10.9 metres @ 5.0g/t AuEq, 3.8g/t Au, 569ppm Co
 Original Assay 9.9m @ 4.1g/t Au
 AuEq % increase 35%

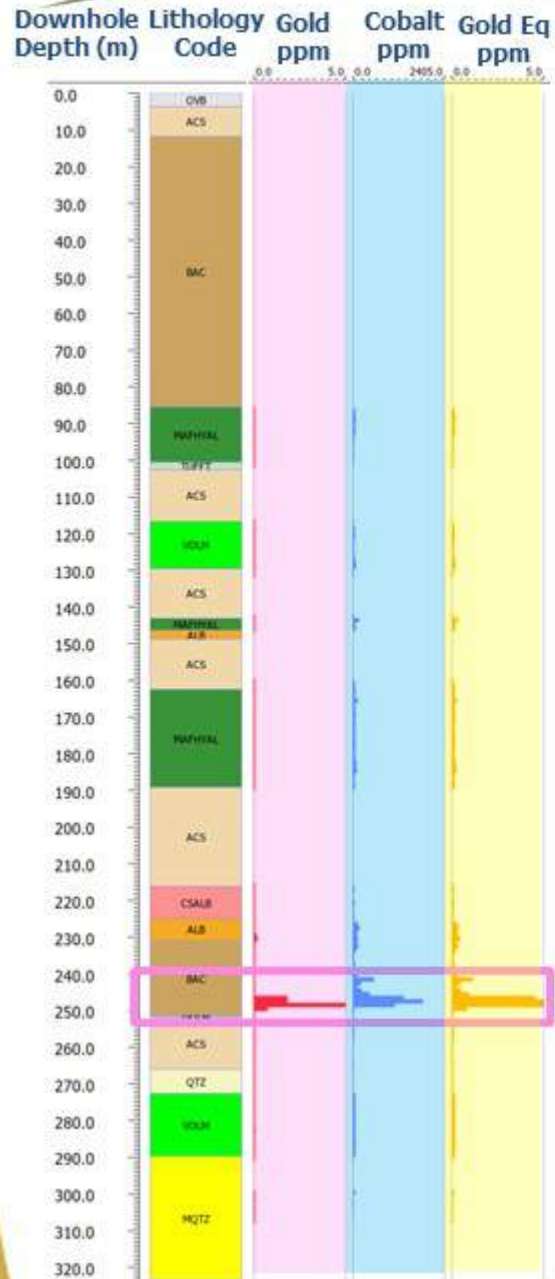


Figure 8
Gold-Cobalt Distribution
 Drillhole PAL0092

5.0 metres @ 16.1 g/t AuEq, 14.2 g/t Au, 938ppm Co
 Original Assay 4.0m @ 17.7g/t Au
 AuEq % increase 14%

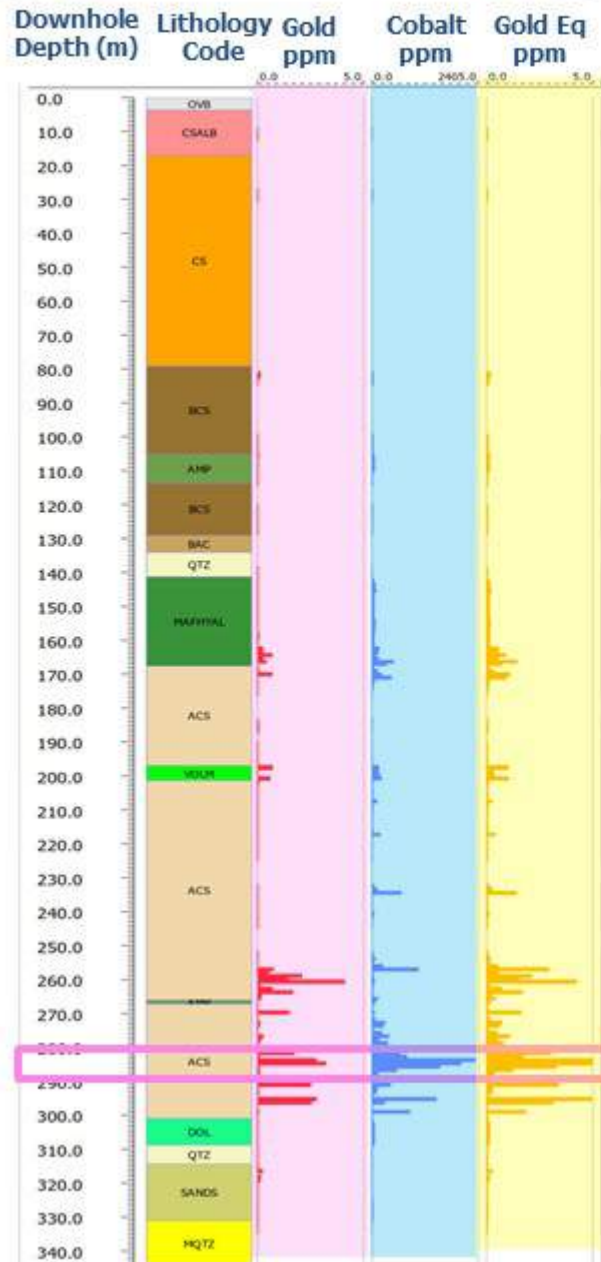


Figure 9
Gold-Cobalt Distribution
 Drillhole PAL0097

11 metres @ 2.6g/t AuEq, 0.8g/t Au, 880ppm Co
 Original Assay 4.0m @ 1.9g/t Au
 AuEq % increase 281%

MAWSON

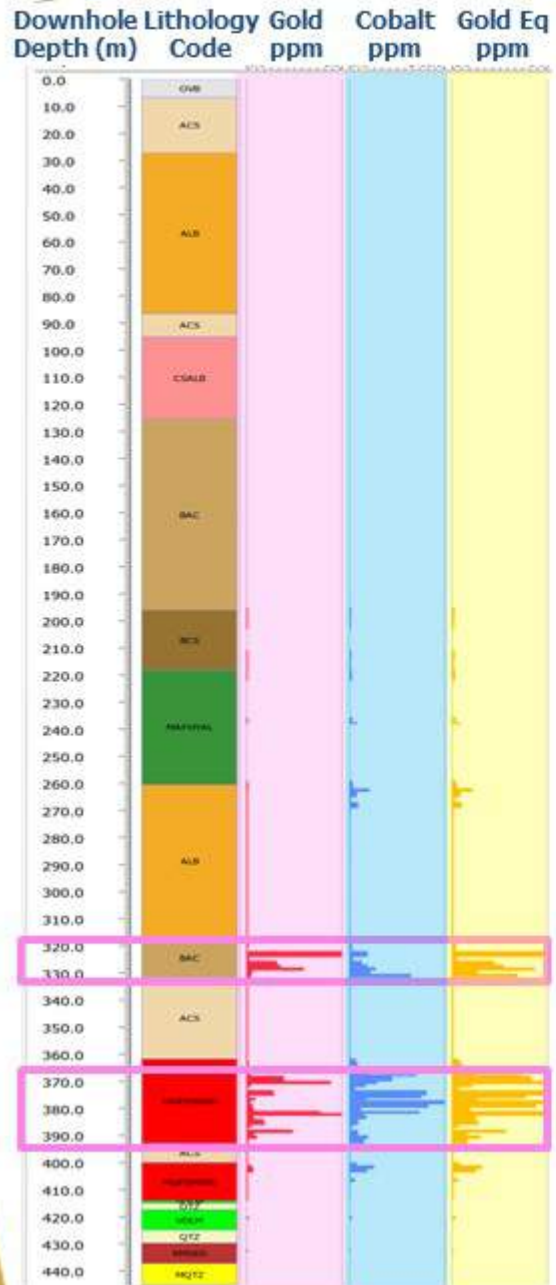


Figure 10
Gold-Cobalt Distribution
Drillhole PAL0118

9.6 metres @ 3.2g/t AuEq, 2.1g/t Au, 534ppm Co
Original Assay 7.0 metres @ 2.8g/t Au
AuEq % increase 56%

23.1 metres @ 5.6g/t AuEq, 3.6g/t Au, 956ppm Co
Original Assay 23.1 metres @ 3.4g/t Au
AuEq % increase 47%

Table 2: Collar Information from Multi-element and Gold Assays report in this Press Release from Six Prospects within the Rajapalot Project (Finnish Grid, Projection KKJ2003)

HoleID	East	North	Azimuth	Dip	RL (m)	Depth (m)	Prospect
PAL0008	3409232.4	7374282.4	134.4	60	175.743	158.38	Hirvima
PAL0025	3408990	7374176	330	55	174.4516	170.65	Hirvima
PAL0127	3409495	7374571	140.05	49.61	178.064	157.7	Hirvima
PAL0130	3409439.2	7374639.4	141.18	50.15	178.477	212	Hirvima
PAL0144	3410155	7374827	160.73	50	180.379	110.5	Hirvima
PAL0146	3409474.8	7374728.2	141.78	48.82	181.741	259.9	Hirvima
PAL0086	3408735	7373936	117.43	58.94	174.342	135	Palokas
PAL0102	3408754.2	7374036.9	117.7	59.62	174.566	202.7	Palokas
PAL0106	3408864	7373985	127.74	60.49	174.837	161.1	Palokas
PRAJ0109	3408660	7373866	116	60	174.8	71.7	Palokas
PRAJ0110	3408623	7373882.2	116	60	174	100.05	Palokas
PRAJ0111	3408649	7373844	116	60	174.5	71.8	Palokas
PRAJ0116	3408623.6	7373830.9	116	60	173.9	100.05	Palokas
PAL0085	3408764.3	7372323.9	60.45	69.78	173.491	215.7	Raja
PAL0092	3408707	7372440.4	60	83.85	174.971	323.9	Raja
PAL0097	3408707	7372441	58.08	69.41	174.934	344.7	Raja
PAL0100	3408707	7372441	60.03	61.94	174.889	343.8	Raja
PAL0111	3408577	7372514	60.65	69.23	177.633	432.3	Raja
PAL0118	3408577.3	7372513.8	60.8	61.74	177.649	445.6	Raja
PAL0124	3408563	7372192	73.42	48.37	173.658	132.6	Raja
PAL0125	3408577.5	7372513.9	60.35	56.95	177.439	112.5	Raja
PAL0052	3410567.9	7373391.9	151.5	48.4	160.257	100.2	Regional
PAL0054	3410651.2	7373254.2	150	50.8	163.018	154.5	Regional
PAL0133	3410336	7373235	136.73	49.45	163.61	167.3	Regional
PAL0137	3410476.3	7373094.8	136.76	49.24	159.136	212	Regional
PAL0138	3410582	7372990	134.29	50.56	156.584	221.2	Regional
PAL0141	3411012.5	7372820.3	141.54	49.31	159.748	143.35	Regional
PAL0021	3408115	7372552	160	53.5	179.2	172.2	Rumajärvi
PAL0022	3408175	7372408.5	160	55	181.8	100.5	Rumajärvi
PAL0039	3408010.3	7372471.4	120.5	49.3	177.672	248.8	Rumajärvi
PAL0040	3407938	7372359	120.6	49.6	178.257	200.1	Rumajärvi
PAL0053	3408284	7372532	183.7	60.2	175.266	260.8	Rumajärvi
PAL0059	3408091	7372461	151.2	59.1	177.091	157.1	Rumajärvi
PAL0063	3407948.6	7372717.3	114.2	49.8	172.776	173.9	Rumajärvi
PAL0108	3407960.6	7372405.2	120.13	59.87	175.811	226.9	Rumajärvi
PAL0114	3407875.1	7372382.9	118.84	46.71	174.517	218.4	Rumajärvi
PAL0115	3407900	7372520	123.79	46.97	173.064	320.1	Rumajärvi
PAL0084	3408481	7373565	119.6	-64.06	174.41	191.2	South Palokas
PAL0094	3408527	7373605	120.67	59.51	173.519	191	South Palokas
PAL0096	3408590.8	7373662.3	115.12	60.13	173.444	131	South Palokas
PAL0098	3408379.6	7373476.5	118.27	60.44	173.536	199.9	South Palokas
PAL0035	3408095.2	7372897.8	137.1	60.2	176.872	191.8	Terry's Hammer
PAL0036	3408123	7372857	139.6	59.4	175.424	115.05	Terry's Hammer

Table 3: Better intersections from the 2018 Winter Assay and Re-assay Program.

Intersections are reported with a lower cut of 0.5g/t Au or Au EQ over 1 metre lower cut. No upper cut-off was applied.

hole_id	From (m)	To (m)	Width (m)	Au Eq (g/t)	Au (g/t)	Co ppm
PAL0008	33.0	34.0	1.0	1.4	1.4	13
PAL0022	16.6	17.8	1.2	2.4	2.3	46
PAL0039	108.5	109.5	1.0	0.8	0.1	351
PAL0039	110.8	113.1	2.3	1.7	0.6	536
PAL0039	115.1	116.1	1.0	0.7	0.0	305
PAL0040	35.3	43.3	8.0	1.6	0.8	370
PAL0040	99.9	100.9	1.0	0.8	0.0	392
PAL0053	65.7	66.7	1.0	3.9	0.5	1610
PAL0053	68.7	69.7	1.0	4.1	1.1	1490
PAL0084	58.8	60.3	1.6	1.6	0.0	732
PAL0084	90.8	91.7	0.9	0.6	0.0	292
PAL0085	96.0	97.0	1.0	0.9	0.0	436
PAL0085	124.0	134.9	10.9	5.0	3.8	569
PAL0085	135.9	136.9	1.0	0.6	0.4	99
PAL0085	137.9	138.9	1.0	0.6	0.5	45
PAL0085	170.0	171.0	1.0	1.7	1.7	9
PAL0086	3.3	4.2	0.9	1.0	0.6	219
PAL0086	48.7	52.7	4.0	0.7	0.2	267
PAL0092	241.0	242.0	1.0	1.1	0.0	538
PAL0092	245.0	250.0	5.0	16.1	14.2	938
PAL0094	71.1	73.0	1.9	1.1	0.0	534
PAL0094	129.1	130.0	0.8	2.1	0.0	996
PAL0097	162.0	167.6	5.6	0.8	0.3	214
PAL0097	169.6	171.6	2.0	1.0	0.4	317
PAL0097	197.0	198.3	1.3	1.0	0.7	147
PAL0097	200.3	201.4	1.1	1.0	0.6	205
PAL0097	234.0	235.0	1.0	1.4	0.0	658
PAL0097	255.6	264.3	8.7	1.6	1.3	167
PAL0097	269.3	270.3	1.0	1.6	1.5	57
PAL0097	272.3	274.3	2.0	0.7	0.1	270
PAL0097	276.3	287.2	11.0	2.6	0.8	880
PAL0097	290.5	291.6	1.2	3.4	2.5	418
PAL0097	294.8	296.8	2.1	4.4	2.7	852
PAL0097	298.6	299.5	0.9	1.9	0.1	863
PAL0098	29.6	30.6	1.1	1.3	0.9	225
PAL0098	35.6	36.6	0.9	5.0	4.9	25
PAL0098	39.3	40.3	1.0	1.6	1.2	198

PAL0100	198.2	198.8	0.6	0.7	0.0	335
PAL0100	230.5	231.0	0.6	1.8	0.0	843
PAL0100	232.7	244.8	12.1	1.3	0.0	611
PAL0100	249.2	250.2	1.0	0.5	0.0	229
PAL0100	251.2	253.2	2.0	1.0	0.0	461
PAL0100	261.2	262.2	1.0	0.8	0.1	363
PAL0100	285.0	296.3	11.3	1.7	0.9	401
PAL0100	300.0	301.0	1.0	1.6	1.4	118
PAL0108	60.0	61.0	1.0	0.7	0.1	304
PAL0111	350.7	351.7	1.0	0.9	0.5	170
PAL0111	353.7	357.7	4.0	0.7	0.1	299
PAL0111	412.0	412.6	0.6	1.5	1.5	8
PAL0114	14.7	15.9	1.2	0.6	0.0	271
PAL0114	18.7	19.9	1.2	0.5	0.1	231
PAL0114	123.5	124.1	0.5	0.7	0.0	353
PAL0115	87.8	93.8	6.0	1.0	0.0	450
PAL0115	108.9	110.2	1.3	0.7	0.1	311
PAL0115	117.0	127.9	10.9	1.1	0.3	385
PAL0115	163.0	169.0	6.0	1.2	0.2	441
PAL0115	230.6	231.4	0.8	0.8	0.6	102
PAL0118	262.0	263.0	1.0	1.1	0.0	495
PAL0118	322.0	331.6	9.6	3.2	2.1	534
PAL0118	365.3	386.0	20.7	5.6	3.6	956
PAL0118	388.0	392.9	4.9	1.4	0.7	317
PAL0118	401.1	403.6	2.5	1.4	0.3	518
PAL0124	54.0	55.1	1.1	0.6	0.0	290
PAL0146	204.4	205.4	1.0	1.5	0.1	704
PAL0146	206.4	207.3	0.9	0.8	0.1	331
PRAJ0109	28.9	31.1	2.2	1.7	0.1	777
PRAJ0109	33.1	34.4	1.3	1.9	0.7	591
PRAJ0109	38.7	71.7	33.0	4.2	3.1	547
PRAJ0110	63.9	66.0	2.1	0.9	0.0	427
PRAJ0110	68.0	69.1	1.1	0.9	0.1	372
PRAJ0110	70.2	92.2	22.0	2.9	1.5	664
PRAJ0110	94.3	95.3	1.0	0.7	0.5	90
PRAJ0110	97.3	99.8	2.5	2.5	0.3	1091
PRAJ0111	30.3	64.9	34.6	2.6	1.2	693
PRAJ0116	66.4	69.4	3.0	2.4	1.9	250